蒋海忠，程晓春，周峰，等.基于脂质合成相关基因的胃癌预测模型构建与功能验证（见正文第 1030 页）

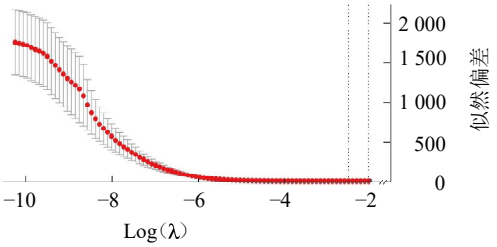


图 1　脂质合成风险评分部分似然偏差与 log(λ)的关系

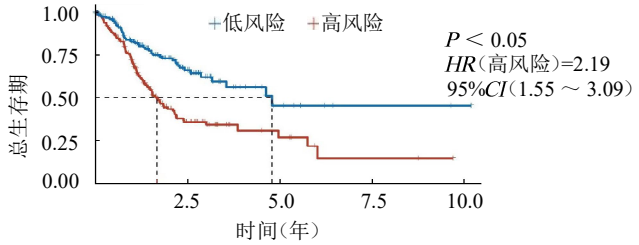


图 2　脂质合成风险评分生存曲线图

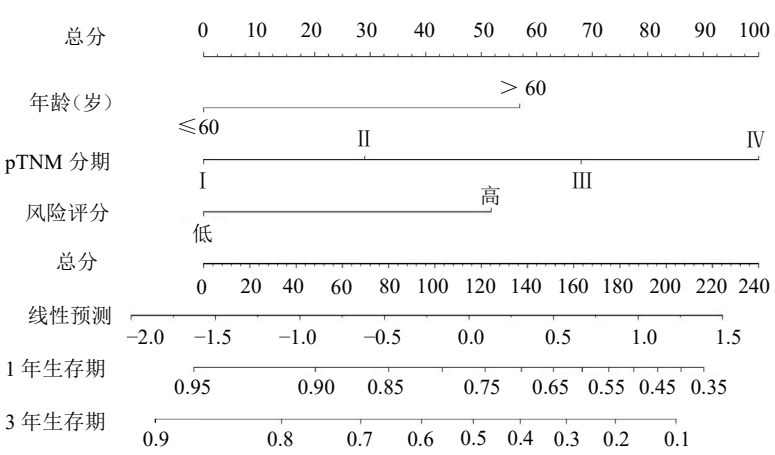
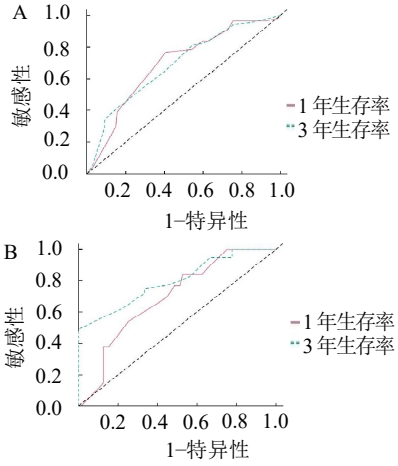


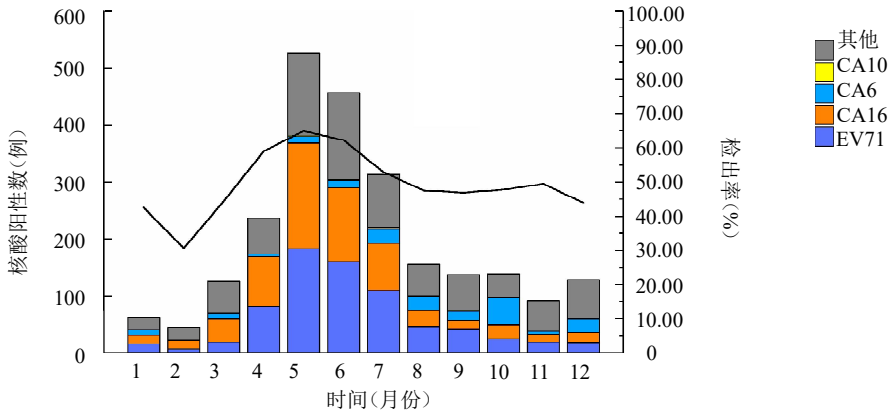
图 3　临床预测模型的 Nomogram 图



注：A 为训练组；B 为验证组

图 4　训练组与验证组的 1、3 年生存率的 ROC 曲线

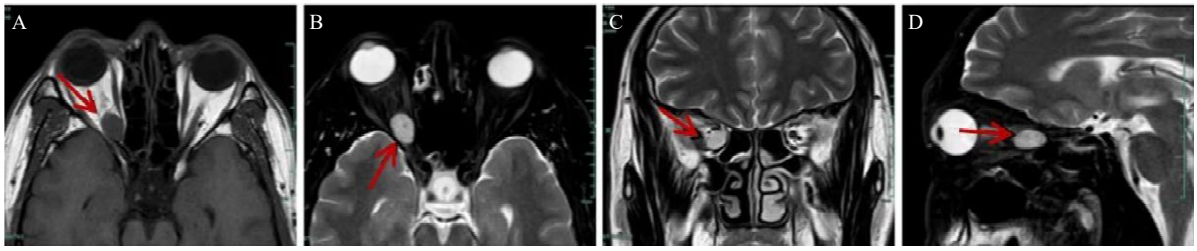
张一，黄邵军，罗学辉.2010—2024 年余姚市手足口病流行病学及病原学特征分析（见正文第 1040 页）



注：EV71 为肠道病毒 71 型，CA16 为柯萨奇病毒 A 组 16 型，CA6 为柯萨奇病毒 A 组 6 型，CA10 为柯萨奇病毒 A 组 10 型

图 5　2010—2024 年余姚市手足口病患者发病时间分布

王盛展，谢晓冬，陆勤康.内镜下蝶筛径路摘除眶尖海绵状血管瘤 1 例报告（见正文第 1086 页）



注：A 显示右眼眶尖部、肌锥内见一略类圆形病灶（红色箭头），T_1W1 低信号（水平位）；B 显示 T_2W1 高信号（水平位）；C 显示位于视神经内侧（冠状位）；D 显示位于视神经下方（矢状位）

图 6　患者术前眼眶磁共振成像检查